

УДК 535.343:548.517

## РАСПРЕДЕЛЕНИЕ ТЕМПЕРАТУРЫ В ДИСКОВЫХ АКТИВНЫХ ЭЛЕМЕНТАХ ЛАЗЕРОВ С ПРОДОЛЬНОЙ ДИОДНОЙ НАКАЧКОЙ

Г. А. Буфетова, Д. А. Николаев, В. Б. Цветков, И. А. Щербаков

*В работе приведены экспериментальные и расчетные данные для определения профиля температуры в области накачки кристаллического лазерного диска. Полученные аналитические соотношения связывают значения температуры, радиуса пятна накачки и толщины диска и позволяют оптимизировать эти параметры при выборе конструкции лазера. На примере дискового активного элемента из кристалла Nd:YVO<sub>4</sub> показано хорошее соответствие расчетных и экспериментальных результатов.*

В настоящее время в твердотельных лазерах большой средней мощности используются различные формы активных элементов. Основным критерием при выборе конкретной формы является максимальное снижение влияния термооптических искажений на качество излучения лазера. В качестве одной из наиболее перспективных форм было предложено использовать дисковые активные элементы [1]. Несмотря на достаточно долгую историю, продолжается активное исследование лазеров на тонких кристаллических дисках [2]. Их конструкция в существенной мере определяется проблемами, связанными с нагреванием активной среды при накачке. Определение максимального значения температуры в области накачки диска играет ключевую роль в выборе типа кристалла и его размеров, вследствие ограничений на температурный диапазон работы активного элемента из-за спектроскопических и механических характеристик активной среды. Обычно толщину диска выбирают малой по отношению к диаметру диска и размерам зоны охлаждения. В большинстве случаев толщина активного диска меньше диаметра пучка накачки. Для накачки используют диодные линейки и матрицы, которые дают

практически равномерное распределение интенсивности в пятне накачки. Для охлаждения одной из поверхностей с напыленным зеркалом лазерный кристалл прикрепляется на металлический блок с жидкостным охлаждением, температура которого поддерживается постоянной (рис. 1). Для того чтобы определить оптимальную толщину диска и допустимые параметры накачки, необходимо заранее оценить температуру лазерного кристалла в зоне накачки.

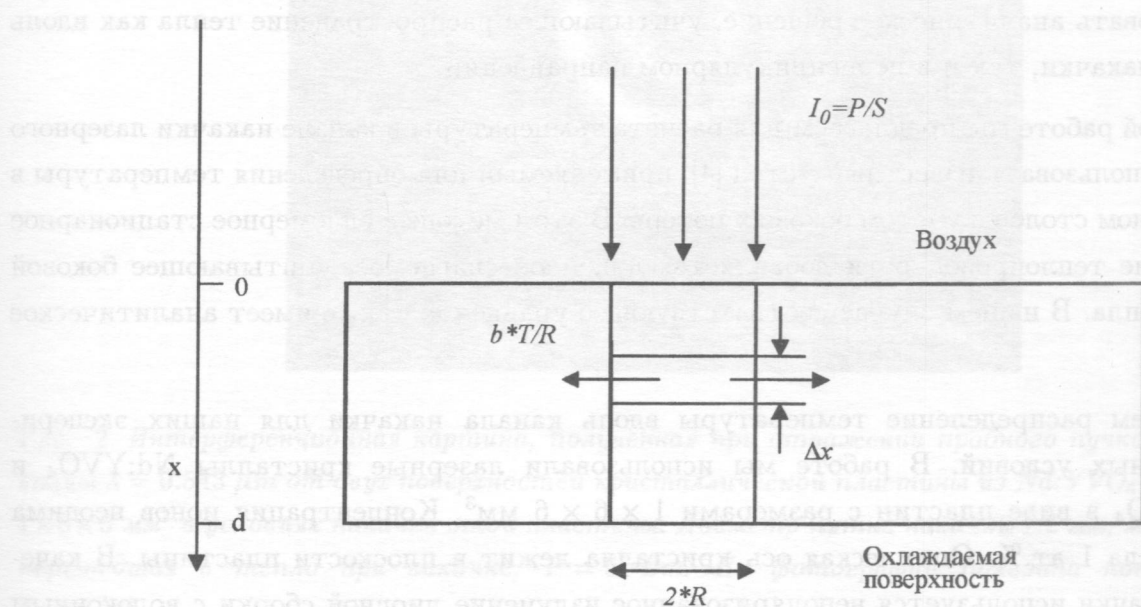


Рис. 1. Схема накачки лазерного диска.

Одной из возможностей для решения такой задачи является численное решение уравнения теплопроводности. В случае осевой симметрии можно решать двумерную задачу с помощью разложения в ряды Фурье [3]. Однако для столообразного распределения источников тепла в объеме тонкой пластины решение сходится медленно и требуется учитывать большое число слагаемых в решении, что затрудняет анализ зависимости температуры кристалла от различных параметров задачи.

При аналитическом решении такой задачи для лазеров на тонких дисках обычно пренебрегают распространением потока тепла в боковые стороны от канала накачки и полагают тепловыделение однородным в канале накачки. В этом случае предполагают, что распределение тепла в направлении накачки удовлетворяет обычному стационарному уравнению теплопроводности для одной координаты [1]. Но значения температуры,

полученные с помощью такого приближения, могут существенно отличаться от реального распределения температуры в активной среде. Наши эксперименты показали, что тепловой поток в активном диске не является одномерным. Фактически величина потока тепла в стороны от канала накачки зависит от конкретных размеров кристалла, значения его теплопроводности, диаметра пучка накачки и может оказаться значительной даже в тонких дисках. Для того чтобы выявить закономерности изменения распределения температуры при изменении различных параметров задачи, удобнее найти и использовать аналитическое решение, учитывающее распространение тепла как вдоль канала накачки, так и в перпендикулярном направлении.

В этой работе мы предлагаем для расчета температуры в канале накачки лазерного диска использовать известный метод [4], применяемый для определения температуры в плазменном столбе с учетом боковых потерь. В этом методе в одномерное стационарное уравнение теплопроводности добавляется линейное слагаемое, учитывающее боковой поток тепла. В нашем случае соответствующее уравнение также имеет аналитическое решение.

Найдем распределение температуры вдоль канала накачки для наших экспериментальных условий. В работе мы использовали лазерные кристаллы Nd:YVO<sub>4</sub> и Nd:GdVO<sub>4</sub> в виде пластин с размерами  $1 \times 6 \times 6$  мм<sup>3</sup>. Концентрация ионов неодима составляла 1 ат.%. Оптическая ось кристалла лежит в плоскости пластины. В качестве накачки используется неполяризованное излучение диодной сборки с волоконным выходом JOLD-22-CPXF-1L фирмы Jena Laserdiode ( $\lambda = 0.808$  μm). Кристалл накачивается перпендикулярно оптической оси кристалла. Внутри кристалла излучение накачки распространяется под небольшим углом ( $8^\circ$ ) к оптической оси резонатора, которая совпадает с нормалью, проведенной к поверхности пластины. Диаметр пятна накачки составляет 1.2 мм. Усредненная по толщине температура кристалла может быть определена с помощью интерференционного калориметрического метода [5]. В этом методе пробный пучок He-Ne лазера ( $\lambda = 0.543$  μm) падает на пластину, и, отражаясь от двух ее поверхностей, формирует интерференционную картину. На рис. 2 приведена фотография, полученная в наших экспериментах для случая активного элемента из кристалла Nd:YVO<sub>4</sub>. По этой картине можно также определить усредненное по толщине значение температурного градиента вдоль поверхности пластины. Мы предлагаем использовать эти данные для определения профиля температуры в активном диске из кристалла Nd:YVO<sub>4</sub> в перпендикулярном направлении – вдоль распространения накачки.

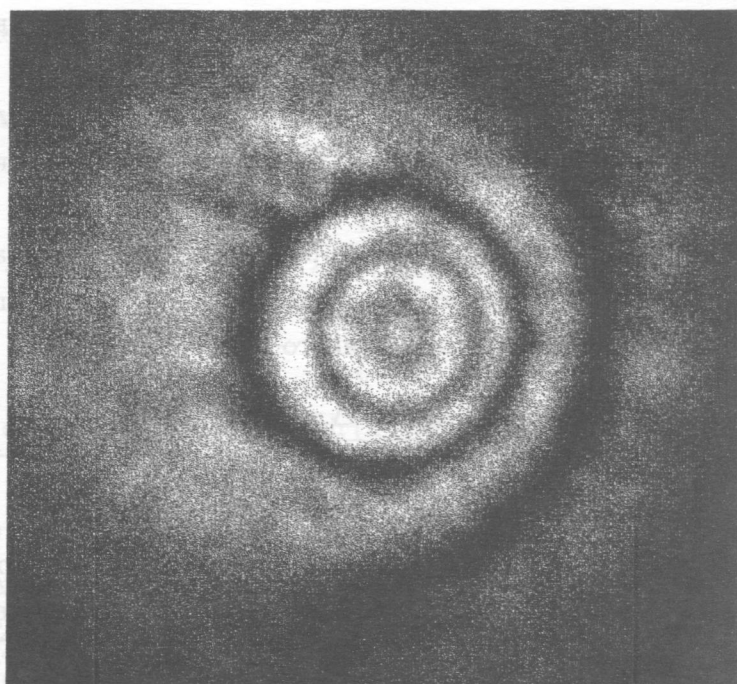


График функции  
длительности опыта  
в зависимости от радиуса  
внешней окружности  
и коэффициента рас-  
сеяния конечного

Рис. 2. Интерференционная картина, полученная при отражении пробного пучка на длине волны  $\lambda = 0.543 \mu\text{м}$  от двух поверхностей кристаллической пластины из  $\text{Nd}:YVO_4$  размером  $1 \times 6 \times 6 \text{ мм}^3$  в условиях накачки этой пластины. Диаметр пятна накачки  $1.2 \text{ мм}$ , мощность, перешедшая в тепло при накачке,  $P = 5 \text{ Вт}$ . На фотографии показана поверхность  $6 \times 6 \text{ мм}^2$ .

В этом подходе мы полагаем, что область накачки цилиндрическая и рассматриваем распространение тепла в сечении, проходящем вдоль канала накачки. Пренебрегаем насыщением поглощения накачки и считаем, что коэффициент поглощения равен эффективному значению, равному  $\alpha = 15.5 \text{ см}^{-1}$  (данное значение получено в результате расчета поглощения по свертке экспериментально измеренных спектральных контуров поглощения и накачки). В этом случае интенсивность накачки  $I(x)$  вдоль направления распространения равна

$$I(x) = I_0 \cdot e^{-\alpha \cdot x},$$

$$I_0 = \frac{P_0}{S},$$

$$S = \pi \cdot R^2,$$

где  $P_0 = 15 \text{ Вт}$  – мощность накачки,  $S$  – площадь пятна накачки с  $R = 0.6 \text{ мм}$ ,  $T_0 = 32^\circ\text{C}$  – температура воды в системе охлаждения,  $d = 1 \text{ мм}$  – толщина пластины. Около  $1/3$

от падающей мощности будет переходить для нашего кристалла в тепло [6]. Полная мощность тепловыделения составляет  $P = 5$  Вт.

Тепловые потери, связанные с боковым потоком, мы оцениваем следующим образом. Боковая поверхность элемента  $\Delta x$  равна  $2\pi R\Delta x$  (рис. 1). Градиент бокового потока тепла пропорционален  $T(x)/R$  с коэффициентом  $b$ , который может быть определен из интерференционной картины, приведенной на рис. 2. Умножая площадь боковой поверхности на градиент потока тепла и деля на объем этого элемента, получаем величину средних объемных тепловых потерь для данного значения  $x$

$$\frac{b \cdot \frac{T(x)}{R} \cdot \chi \cdot 2 \cdot \pi \cdot R \cdot \Delta x}{\pi \cdot R^2 \cdot \Delta x} = \frac{2 \cdot b \cdot T(x) \cdot \chi}{R^2},$$

где  $\chi$  – коэффициент теплопроводности.

Коэффициент  $b$  соответствует производной распределения температуры по радиальному направлению, взятому при  $r = R$ . Величина его тем выше, чем больше разница температур между областью с источником тепловыделения и прилегающей к ней областью. Его максимально возможное значение 5.8 соответствует случаю, когда для значения  $r = R$  температура поддерживается на уровне температуры  $T_0$  [4]. В нашем случае разница температур не так высока и измеренный коэффициент равен  $b = 0.8$ . Отметим, что в отличие от случая с плазменным столбом, для дисковых лазеров коэффициент  $b$  может быть измерен экспериментально для разных конкретных случаев.

Уравнение теплопроводности решаем для  $T(x) = T_1(x) - T_0$  – разности между абсолютным значением температуры  $T_1(x)$  и температурой внешней среды  $T_0$

$$\frac{d^2 T(x)}{dx^2} - \frac{2 \cdot b \cdot T(x)}{R^2} = -\frac{\alpha \cdot P \cdot e^{-\alpha \cdot x}}{\chi \cdot S}. \quad (1)$$

Границные условия соответствуют теплоизоляции со стороны падения накачки на границе с воздухом. При  $x = 0$

$$\frac{d}{dx} T(x) = 0$$

и смешанные условия 3 рода на охлаждаемой границе, при  $x = d$

$$\frac{d}{dx} T(x) = -\frac{\xi}{\chi} \cdot T(x),$$

где  $\xi$  – коэффициент теплопередачи (например,  $\xi = 0.2$  Вт/см<sup>2</sup>·град для случая теплопередачи между потоком воды со скоростью 40 см/с и металлической стенкой [5]),  $\chi = 0.05$  Вт/см · град – коэффициент теплопроводности лазерного кристалла Nd:YVO<sub>4</sub>.

Решение уравнения принимает вид

$$T(x) = A \cdot \operatorname{sh} \left( \frac{\sqrt{2 \cdot b}}{R} \cdot x \right) + B \cdot \operatorname{ch} \left( \frac{\sqrt{2 \cdot b}}{R} \cdot x \right) + C \cdot e^{-\alpha \cdot x}, \quad (2)$$

где

$$C = \frac{\alpha \cdot P}{\chi \cdot S \cdot \left( \frac{2 \cdot b}{R^2} - \alpha^2 \right)},$$

$$A = \alpha \cdot \frac{R}{\sqrt{2 \cdot b}} \cdot C,$$

$$B = C \cdot \frac{\left( \alpha - \frac{\xi}{\chi} \right) \cdot e^{-\alpha \cdot d} - \left[ \frac{\sqrt{2 \cdot b}}{R} \cdot \operatorname{ch} \left( d \cdot \frac{\sqrt{2 \cdot b}}{R} \right) + \frac{\xi}{\chi} \cdot \operatorname{sh} \left( d \cdot \frac{\sqrt{2 \cdot b}}{R} \right) \right] \cdot \alpha \cdot \frac{R}{\sqrt{2 \cdot b}}}{\frac{\sqrt{2 \cdot b}}{R} \cdot \operatorname{sh} \left( d \cdot \frac{\sqrt{2 \cdot b}}{R} \right) + \frac{\xi}{\chi} \cdot \operatorname{ch} \left( d \cdot \frac{\sqrt{2 \cdot b}}{R} \right)}.$$

График функции  $T(x)$  приведен на рис. 3. Разница температуры на двух поверхностях пластины равна  $\Delta T = 84^\circ\text{C}$ . Максимальное значение  $T_1(0) = 210^\circ\text{C}$ . На приведенной фотографии (рис. 2) видно, что четвертое темное интерференционное кольцо проходит на поверхности пластины через область накачки, что соответствует для кристалла Nd:YVO<sub>4</sub> разнице температур на двух поверхностях около  $90^\circ$ . Важно отметить, что решение не очень сильно зависит от величины параметра  $b$ , так для  $b = 1$   $\Delta T = 72^\circ\text{C}$ ,  $T_1(0)_{\max} = 180^\circ\text{C}$ .

Из (1) следует, что максимальная температура в канале накачки (при  $x = 0$ ) равна  $T_1(0) = B + C + T_0$ . Эта формула связывает максимальное значение температуры  $T_1(0)$ , радиус пятна накачки  $R$  и толщину пластины  $d$  и позволяет оптимизировать эти параметры при выборе конструкции лазера

$$T_1(0) = T_0 + \frac{\alpha \cdot P}{\chi \cdot S \cdot \left( \frac{2 \cdot b}{R^2} - \alpha^2 \right)} \times$$

$$\times \left\{ 1 + \frac{\left( \alpha - \frac{\xi}{\chi} \right) \cdot e^{-\alpha \cdot d} - \left[ \frac{\sqrt{2 \cdot b}}{R} \cdot \operatorname{ch} \left( d \cdot \frac{\sqrt{2 \cdot b}}{R} \right) + \frac{\xi}{\chi} \cdot \operatorname{sh} \left( d \cdot \frac{\sqrt{2 \cdot b}}{R} \right) \right] \cdot \alpha \cdot \frac{R}{\sqrt{2 \cdot b}}}{\frac{\sqrt{2 \cdot b}}{R} \cdot \operatorname{sh} \left( d \cdot \frac{\sqrt{2 \cdot b}}{R} \right) + \frac{\xi}{\chi} \cdot \operatorname{ch} \left( d \cdot \frac{\sqrt{2 \cdot b}}{R} \right)} \right\}.$$

Сравним эти результаты с решением, полученным для тех же исходных данных, но без учета боковых потерь. В этом случае уравнение имеет вид

$$\frac{d^2 T(x)}{dx^2} = - \frac{\alpha \cdot P \cdot e^{-\alpha \cdot x}}{\chi \cdot S}, \quad (3)$$

а его решение

$$T(x) = \frac{P}{\alpha \cdot \chi \cdot S} \cdot (e^{-\alpha \cdot d} - e^{-\alpha \cdot x}) + \frac{P}{\chi \cdot S} \cdot (d - x) + \frac{P}{\xi \cdot S} \cdot (1 - e^{-\alpha \cdot d}). \quad (4)$$

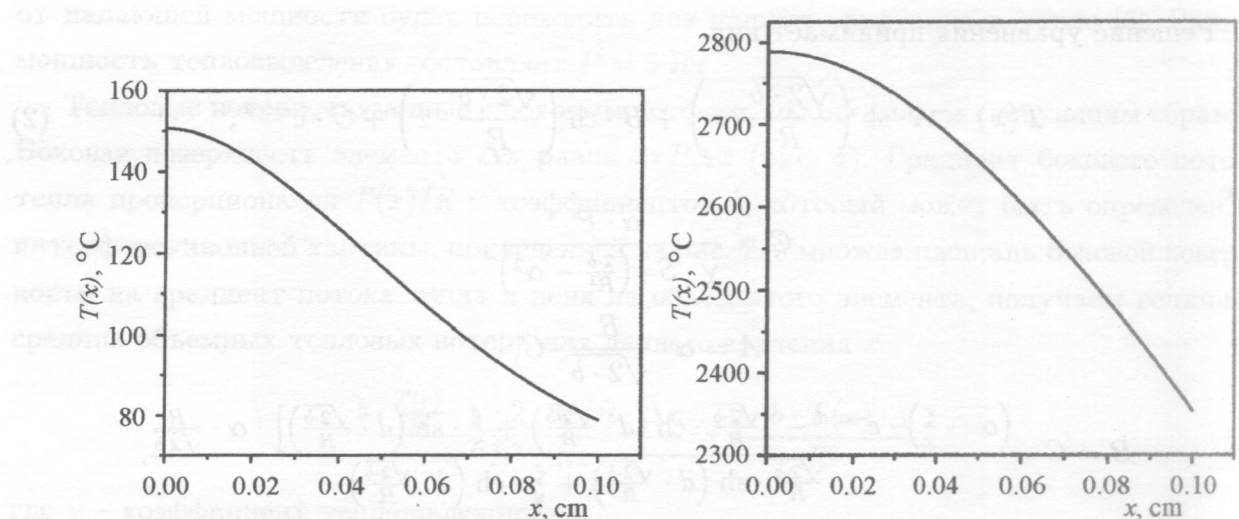


Рис. 3. Температурный профиль вдоль канала накачки для диска из  $Nd:YVO_4$  при  $P = 5 \text{ Вт}$ ,  $R = 0.6 \text{ мм}$  с учетом бокового потока тепла.  $T_{\max} = 150^\circ\text{C}$ ,  $\Delta T = 72^\circ\text{C}$ .

Рис. 4. Температурный профиль вдоль канала накачки для диска из  $Nd:YVO_4$  при  $I_0 = 440 \text{ Вт/см}^2$ . Без учета бокового потока тепла  $T_{\max} = 2800^\circ\text{C}$ ,  $\Delta T = 435^\circ\text{C}$ .

Разница температур на двух поверхностях диска равна

$$\Delta T = 435^\circ\text{C}.$$

Абсолютное значение температуры, полученное в таком приближении, равно  $2800^\circ\text{C}$ , что на порядок отличается от диапазона температур, реально достижимых в экспериментах при накачке пластин узким пучком.

Наш подход (1) может быть использован и для оценки температуры в случае накачки более широкими пучками. Например, если диаметр пучка 4 мм (для сравнения возьмем то же самое значение интенсивности, что и в предыдущих случаях), тогда доля мощности, уходящая на нагревание, равна 50 Вт и значения температуры составляют  $T_{\max} = 700^\circ\text{C}$ ,  $\Delta T = 270^\circ\text{C}$ . Ясно, что для реальной работы такая схема не подходит.

Из приведенных результатов следует, что для определения профиля температуры в лазерах на дисках необходимо учитывать боковой поток тепла. Наш подход может быть полезен для оценки температуры и потока тепла для лазеров на дисках или пластинах в случае, когда область накачки меньше объема активного элемента.

Работа была выполнена в рамках проекта РФФИ 07-02-12118-ОФИ.

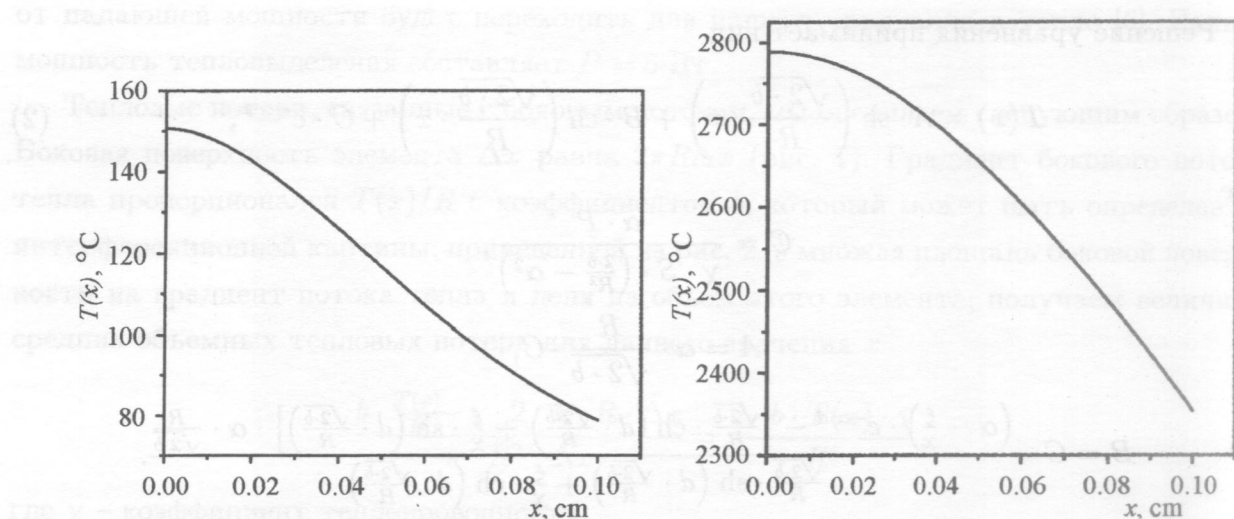


Рис. 3. Температурный профиль вдоль канала накачки для диска из  $Nd:YVO_4$  при  $P = 5 \text{ Вт}$ ,  $R = 0.6 \text{ мм}$  с учетом бокового потока тепла.  $T_{\max} = 150^\circ\text{C}$ ,  $\Delta T = 72^\circ\text{C}$ .

Рис. 4. Температурный профиль вдоль канала накачки для диска из  $Nd:YVO_4$  при  $I_0 = 440 \text{ Вт/см}^2$ . Без учета бокового потока тепла  $T_{\max} = 2800^\circ\text{C}$ ,  $\Delta T = 435^\circ\text{C}$ .

Разница температур на двух поверхностях диска равна

$$\Delta T = 435^\circ\text{C}.$$

Абсолютное значение температуры, полученное в таком приближении, равно  $2800^\circ\text{C}$ , что на порядок отличается от диапазона температур, реально достижимых в экспериментах при накачке пластин узким пучком.

Наш подход (1) может быть использован и для оценки температуры в случае накачки более широкими пучками. Например, если диаметр пучка 4 мм (для сравнения возьмем то же самое значение интенсивности, что и в предыдущих случаях), тогда доля мощности, уходящая на нагревание, равна 50 Вт и значения температуры составляют  $T_{\max} = 700^\circ\text{C}$ ,  $\Delta T = 270^\circ\text{C}$ . Ясно, что для реальной работы такая схема не подходит.

Из приведенных результатов следует, что для определения профиля температуры в лазерах на дисках необходимо учитывать боковой поток тепла. Наш подход может быть полезен для оценки температуры и потока тепла для лазеров на дисках или пластинах в случае, когда область накачки меньше объема активного элемента.

Работа была выполнена в рамках проекта РФФИ 07-02-12118-ОФИ.

## ЛИТЕРАТУРА

- [1] A. Giesen, H. Hügel, A. Voss, et al., *Applied Physics B* **58**(5), 365 (1994).
- [2] N. Pavel, K. Luenstedt, K. Petermann, and G. Huber, *Proc. of SPIE* **6785**, 678504 (2007).
- [3] G. A. Bufetova, D. A. Nikolaev, I. A. Shcherbakov, and V. B. Tsvetkov, *Laser Physics* **14**(9), 1219 (2004).
- [4] Yu. P. Raizer, *Laser-Induced Discharge Phenomena* (Plenum, New York, 1977).
- [5] T. Jenssen, V. Ostroumov, J. P. Meyn, et al., *Proceedings of CLEO/EUROPE-94 and EQEC-94*, Amsterdam (European Physical Society, Amsterdam, 1994), Ctu A6.
- [6] T. Y. Fan, *IEEE Journal of Quantum Electronics* **29**(6), 1457 (1993).
- [7] H. Kuchling, *Nachschlagebuecher fuer Grundlagenfaecher. Physik* (VEB Fachbuchverlag, Leipzig, 1980).

Институт общей физики

им. А. М. Прохорова РАН

Поступила в редакцию 11 января 2008 г.